

Produktkonfiguration: MK57.83

MK57.83: Einbauleuchte mit 15 Zellen - LED - Warm White - Flood-Öffnung - transparent / schwarz



MK57.83: Einbauleuchte mit 15 Zellen - LED - Warm White - Flood-Öffnung - transparent / schwarz

Beschreibung

Miniaturisierte, rechteckige Einbauleuchte mit 15 optischen Elementen mit LED-Lampen - feste Optiken - Flood-Öffnung. Hauptkorpus mit strahlender Oberfläche aus Aluminiumdruckguss, Version mit Anschlag-Konturenrahmen. Hochauflösungsoptik aus metallisiertem Thermoplast, in zurückgesetzter Position in den schwarzen Blendschutz integriert; das optische System ist so strukturiert, dass kein Punkt-Effekt entsteht, sondern eine definierte, kreisförmige Lichtverteilung und eine Lichtemission mit geringer Blendung gewährleistet sind. Komplett mit elektronischer dimmbarer DALI-Versorgungseinheit, die an die Leuchte angeschlossen ist. LED Warm White.

Installation

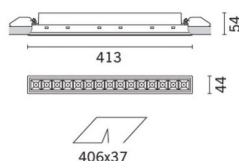
zum Einbau in abgehängte Decken von 1 bis 25 mm mittels Federn aus Stahldraht - Einbauöffnung 37 x 406

Farben

Schwarz Durchsichtig (83)

Gewicht (Kg)

0.86



Montage

Wandeinbauleuchte | Deckeneinbauleuchte

Verkabelung

Verkabelung
auf Versorgungseinheit mit Schnellanschluss-Verbindern

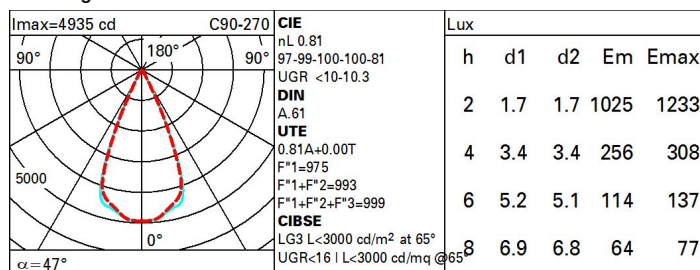
Gemäß der Normen EN60598-1 u. Sondernormen



Technische Daten

| | | | |
|---|------|-----------------------------------|---------------------------------|
| Im System: | 2673 | CRI (typisch): | 92 |
| W System: | 33.5 | Farbtemperatur [K]: | 3000 |
| Im Lichtquelle: | 3300 | MacAdam Step: | 3 |
| W Lichtquelle: | 30 | Lebensdauer LED 1: | > 50,000h - L90 - B10 (Ta 25°C) |
| Lichtausbeute (lm/W, Systemwert): | 79.8 | Lampencode: | LED |
| Im im Notlichtbetrieb: | - | Anzahl Lampen in Leuchtengehäuse: | 1 |
| abgegebener Lichtstrom bei/ über einem Winkel von 90° | 0 | ZVEI-Code: | LED |
| [lm]: | | Anzahl Leuchtengehäuse: | 1 |
| Leuchtenbetriebswirkungsgrad 81 (L.O.R.) [%]: | | Control: | DALI-2 |
| Abstrahlwinkel [°]: | 46° | | |
| CRI (minimum): | 90 | | |

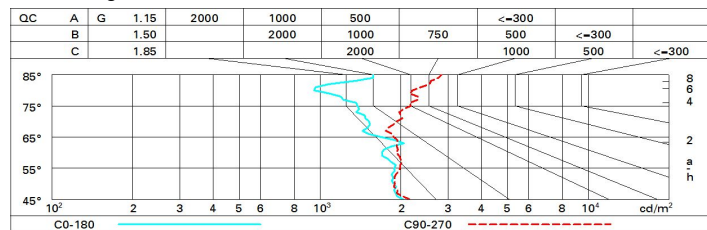
Polardiagramm



Wirkungsgrad

| R | 77 | 75 | 73 | 71 | 55 | 53 | 33 | 00 | DRR |
|------|----|----|----|----|----|----|----|----|-----|
| K0.8 | 72 | 68 | 66 | 63 | 68 | 65 | 65 | 62 | 77 |
| 1.0 | 76 | 72 | 69 | 68 | 71 | 69 | 69 | 66 | 81 |
| 1.5 | 80 | 77 | 75 | 73 | 76 | 74 | 73 | 71 | 87 |
| 2.0 | 82 | 80 | 79 | 77 | 79 | 78 | 77 | 74 | 92 |
| 2.5 | 84 | 82 | 81 | 80 | 81 | 80 | 79 | 77 | 95 |
| 3.0 | 85 | 84 | 83 | 82 | 82 | 82 | 81 | 79 | 97 |
| 4.0 | 86 | 85 | 84 | 84 | 84 | 83 | 82 | 80 | 99 |
| 5.0 | 86 | 86 | 85 | 85 | 84 | 84 | 83 | 81 | 100 |

Söller-Diagramm



UGR-Diagramm

| Corrected UGR values (at 3300 lm bare lamp luminous flux) | | | | | | | | | | | |
|---|-----|------------------|------------|------|------|------|----------------|------|------|------|------|
| Reflect.: | | viewed crosswise | | | | | viewed endwise | | | | |
| ceiling/cav | | 0.70 | 0.70 | 0.50 | 0.50 | 0.30 | 0.70 | 0.70 | 0.50 | 0.50 | 0.30 |
| walls | | 0.50 | 0.30 | 0.50 | 0.30 | 0.30 | 0.50 | 0.30 | 0.50 | 0.30 | 0.30 |
| work pl. | | 0.20 | 0.20 | 0.20 | 0.20 | 0.20 | 0.20 | 0.20 | 0.20 | 0.20 | 0.20 |
| Room dim | | | | | | | | | | | |
| x y | | | | | | | | | | | |
| 2H | 2H | 8.7 | 9.2 | 9.0 | 9.4 | 9.7 | 9.5 | 10.0 | 9.7 | 10.2 | 10.4 |
| | 3H | 8.9 | 9.3 | 9.2 | 9.6 | 9.9 | 9.5 | 10.0 | 9.8 | 10.2 | 10.5 |
| | 4H | 9.0 | 9.4 | 9.3 | 9.7 | 10.0 | 9.5 | 9.9 | 9.8 | 10.2 | 10.5 |
| | 6H | 9.0 | 9.4 | 9.4 | 9.7 | 10.0 | 9.5 | 9.8 | 9.8 | 10.2 | 10.5 |
| | 8H | 9.0 | 9.4 | 9.4 | 9.7 | 10.0 | 9.4 | 9.8 | 9.8 | 10.1 | 10.5 |
| | 12H | 9.0 | 9.4 | 9.4 | 9.7 | 10.1 | 9.4 | 9.8 | 9.8 | 10.1 | 10.4 |
| 4H | 2H | 8.8 | 9.2 | 9.1 | 9.5 | 9.8 | 9.9 | 10.4 | 10.3 | 10.6 | 10.9 |
| | 3H | 9.1 | 9.5 | 9.5 | 9.8 | 10.2 | 10.2 | 10.6 | 10.6 | 10.9 | 11.3 |
| | 4H | 9.3 | 9.6 | 9.7 | 10.0 | 10.4 | 10.3 | 10.6 | 10.7 | 11.0 | 11.4 |
| | 6H | 9.4 | 9.7 | 9.8 | 10.1 | 10.5 | 10.4 | 10.6 | 10.8 | 11.0 | 11.5 |
| | 8H | 9.4 | 9.7 | 9.8 | 10.1 | 10.5 | 10.3 | 10.6 | 10.8 | 11.0 | 11.5 |
| | 12H | 9.4 | 9.7 | 9.9 | 10.1 | 10.6 | 10.3 | 10.5 | 10.8 | 11.0 | 11.4 |
| 8H | 4H | 9.4 | 9.6 | 9.8 | 10.0 | 10.5 | 10.8 | 11.0 | 11.2 | 11.4 | 11.9 |
| | 6H | 9.5 | 9.7 | 10.0 | 10.2 | 10.7 | 11.0 | 11.2 | 11.4 | 11.6 | 12.1 |
| | 8H | 9.6 | 9.8 | 10.1 | 10.2 | 10.7 | 11.0 | 11.2 | 11.5 | 11.6 | 12.1 |
| | 12H | 9.7 | 9.8 | 10.2 | 10.3 | 10.8 | 11.0 | 11.2 | 11.5 | 11.6 | 12.2 |
| 12H | 4H | 9.4 | 9.6 | 9.8 | 10.0 | 10.5 | 10.9 | 11.2 | 11.4 | 11.6 | 12.1 |
| | 6H | 9.5 | 9.7 | 10.0 | 10.2 | 10.7 | 11.2 | 11.4 | 11.7 | 11.8 | 12.3 |
| | 8H | 9.6 | 9.8 | 10.1 | 10.2 | 10.8 | 11.3 | 11.4 | 11.8 | 11.9 | 12.4 |
| Variations with the observer position at spacing: | | | | | | | | | | | |
| S = | | 1.0H | 2.5 / -2.4 | | | | 1.7 / -1.7 | | | | |
| | | 1.5H | 4.1 / -2.7 | | | | 3.0 / -2.0 | | | | |
| | | 2.0H | 5.8 / -3.5 | | | | 4.5 / -2.4 | | | | |